



زمین دما-فشارسنگی سنگ‌های فرامافیک صحنه، هرسین-نورآباد (شمال شرق کرمانشاه)

علی مرادپور^{*}، احمد احمدی خلجی^۲، رضا زارعی سهامیه^۲، رامین ساریخانی^۲، محمدرضا امامی میبدی^۲

۱- مرکز تحقیقات و آموزش کشاورزی و منابع طبیعی استان کرمانشاه، سازمان تحقیقات، آموزش و ترویج کشاورزی، کرمانشاه، ایران

۲- گروه زمین شناسی، دانشکده علوم پایه، دانشگاه لرستان، خرم‌آباد، ایران

(دریافت مقاله: ۹۹/۱۲/۲۰، نسخه نهایی: ۱۴۰۰/۲/۲۵)

چکیده: افیولیت‌های صحنه، هرسین - نورآباد (استان کرمانشاه) واقع در کمربند افیولیتی بیرونی زاگرس، بخشی از نوار افیولیتی کرتاسه هستند که به عنوان بازمانده‌های شاخه جنوبی اقیانوس از عمان تا شمال غرب سوریه، قبرس و آنتالیا بر سپر عربی- تائوریک فرارانده شده‌اند. محاسبه ضریب جدایش نسبت Fe/Mg برای کانی الیوین بیانگر خاستگاه گوشه‌های این کانی است. شواهد بافتی موجود در سنگ‌های فرامافیک نشان از سرد شدن همزمان با کاهش فشار، ذوب بخشی و واکنش مذاب سنگ دارند. نمودارهای تعیین کننده محیط زمین‌ساختی ماغمایی افزون بر نمایش نمونه‌ها در میدان آرایش گوشه‌های الیوین - اسپینل بیانگر قرارگیری آن‌ها در میدان پریدوتیت‌های منطقه ابر فرورانش (SSZ) است. بر اساس محاسبات انجام شده با واسنجی‌های مختلف، دما و فشار تبلور سنگ‌های هارزبورزیتی و لرزولیتی ۱۱۰۰ تا ۱۵۰۰ درجه سانتیگراد و ۱۲ تا ۱۸ کیلوبار و برای نمونه ورليتی ۱۲۰۰ تا ۱۵۰۰ سانتیگراد و ۲۱ تا ۲۳ کیلوبار است که با محیط تشکیل SSZ همخوانی دارد.

واژه‌های کلیدی: فرامافیک؛ منطقه ابر فرورانش؛ زمین دما-فشار سنگی؛ افیولیت؛ کرمانشاه.

چون قطعه‌های سنگی جدا شده و تکه تکه افیولیتی، گابروها و پریدوتیت‌های سپتانیتی که به صورت محلی توسط دایک‌های درلتی مورد هجوم قرار گرفته‌اند و بویژه روابط زمین‌ساختی کامل بین انواع مختلف سنگ‌ها در افیولیت کرمانشاه همه نشان می‌دهند که این مجموعه یک آمیزه افیولیتی زمین‌ساختی است.

تاکنون بررسی زمین دما فشار سنگی در مناطق مورد بررسی انجام نشده است. از این رو در این پژوهش، بر پایه داده‌های شیمی کانی سنگ‌های فرامافیک مناطق صحنه، هرسین-نورآباد سنگ‌شناسی آن‌ها و براساس داده‌های زمین دما فشار سنگی، فرآیندهای سنگ‌زایی و ماغمایی این سنگ‌ها بررسی شد.

موقعیت زمین شناسی

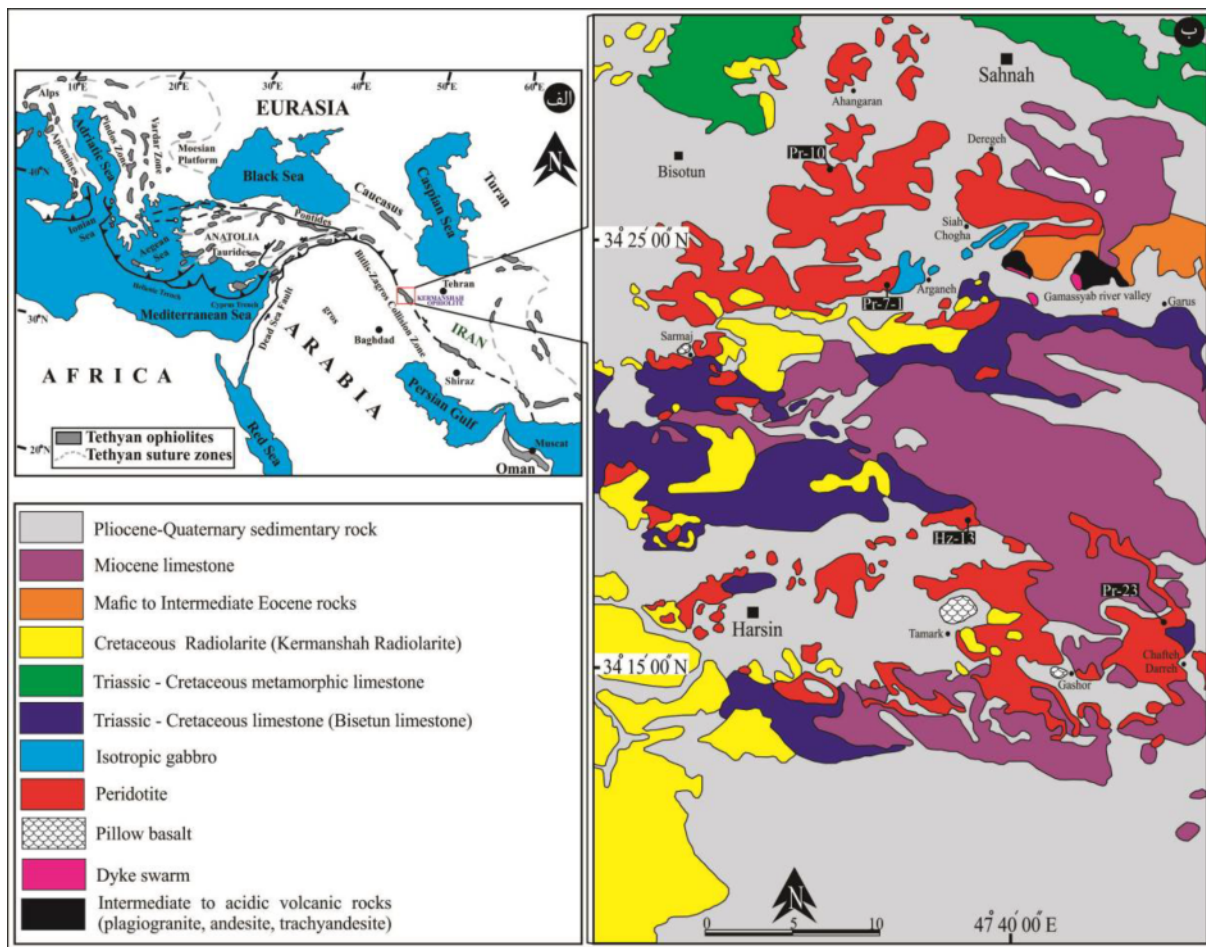
در منطقه کرمانشاه از جنوب غرب به شمال شرق، کمربند چین خورده زاگرس، پهنه خرد شده همراه با افیولیت‌ها

مقدمه

تاریخ همگرایی و زمین‌ساخت اقیانوس تنیس جنوبی بین سپر عربی (گندوانا) و قطعه قاره‌ای سندنج- سیرجان ایران را می‌توان در کمربند چین خورده زاگرس جستجو نمود. این کمربند کوه‌زایی که از مرز ایران- ترکیه تا شمال هرمز ادامه دارد، جزئی از سامانه کوه‌زایی کلاسیک برخورد قاره‌ای مزوژوئیک آلپ- هیمالیا است، که کرانه فعال شمالی (اوراسیایی) را از کرانه غیر فعال جنوبی (عربی) جدا مجزا می‌کند. افیولیت‌های زاگرس که در مناطقی چون سرو آباد، کرمانشاه، نیریز، بافت [۱] و پنجوین- والش در عراق [۲] قرار دارند، در اثر برخورد قاره‌ای بین آفرو- عربی و ایران و در راستای پهنه خرد شده زاگرس رخمنون دارند [۳، ۴].

(الف).

گرچه افیولیت‌های کرمانشاه از نظر چگونگی تشکیل معادل با افیولیت‌های عمان در نظر گرفته شده‌اند [۶]، اما شواهدی



شکل ۱ اف: پراکندگی افیولیت‌های تیسی در جوش خورده سامانه کوهزایی آپ-هیمالیا، برگرفته از مرجع [۴] با تغییرات، ب: نقشه زمین‌شناسی ساده شده مناطق صحنه، هرسین-نورآباد برگرفته از مرجع [۷] با تغییرات.

رخمنون کوچک در راستای رودخانه گاماسیاب قابل مشاهده است. سنگ‌های آتشفسانی بیشتر شامل گدازه‌های بالشی با بافت حفره‌دار و جریان‌های بازالتی هستند که در منطقه هرسین و پیرامون روستاهای گشور، تمرک و سرماج دیده می‌شوند.

بیشترین فراوانی در سنگ‌های رسوی موجود در مناطق هرسین، صحنه و نورآباد مربوط به رادیولاریت‌های دگرشکل شده واحد بیستون و سازند قم هستند. رادیولاریت‌های به شدت تغییرشکل یافته، بیشتر در منطقه هرسین-صحنه دیده می‌شوند. در این مناطق، واحد بیستون از کربنات کم عمق با ضخامت زیاد تشکیل شده است و از نظر سنی، گستره‌ای از تریاس پایانی تا کرتاسه آغازین-پایانی را در بر می‌گیرد [۹، ۸]. سازند قم نیز که در مناطق مورد بررسی شامل کربنات‌های سکویی دریابی کم عمق با کنگلومرات قاعده‌ای است، سن

(زاگرس مرتفع) و پهنه سندنج - سیرجان سه واحد ساختاری اصلی در منطقه به شمار می‌آیند. در این منطقه، افیولیت‌های کرمانشاه در بخش شمال غربی پهنه افیولیتی زاگرس و در بین سپر عربی و پهنه سندنج-سیرجان واقع هستند. این افیولیت‌ها که با نام مجموعه صحنه، هرسین-نورآباد نیز شناخته می‌شوند، با مختصات $30^{\circ} 34^{\prime}$ تا $34^{\circ} 34^{\prime}$ عرض شمالی و $47^{\circ} 30^{\prime}$ تا $48^{\circ} 00^{\prime}$ طول شرقی، بیشتر از پریدوتیت و گابروهایی تشکیل شده اند که توسط دایک‌ها مورد هجوم قرار گرفته و با گدازه‌های بالشی و جریان‌های بازالتی و همچنین سنگ‌های آهکی (واحد بیستون) پوشیده شده‌اند (شکل ۱ ب). در منطقه، توالی گابروبی به دو صورت گابروبی پگماتوئیدی در شمال غرب و گابروهای دارای برگوارگی در جنوب شرق رخمنون دارند. در هر دو نوع گابروبه، تروکتولیت‌ها به صورت اجزائی کوچک دیده می‌شوند. مجموعه دایکی در چند

دارای اجزاء گرد و پراکنده‌ای از الیوین و تیغه‌های جدایشی کلینوپیروکسن درون ارتوبیروکسن هستند (شکل ۲ ت) که نشان از باز تعادل این سنگ‌ها در شرایط دما و فشار پوسته‌ای دارد. کروم اسپینل به صورت بی‌شکل تا نیمه شکل دار دیده می‌شود؛ از این رو به نظر می‌رسد که آنها کانی‌های باقی مانده پس از ذوب‌بخشی هستند (شکل ۲ ث). در برخی مقاطع، کروم اسپینل‌ها زنجیروار و به صورت بلورهایی بی‌شکل تا نیمه شکل دار اغلب در الیوین‌ها دیده می‌شوند (شکل ۲ ج).

لرزولیت: لرزولیت‌ها اغلب به صورت اجزائی کوچک و پراکنده در بین توده‌های هارزبورژیتی دیده می‌شوند. این سنگ‌ها شامل الیوین (۵۵ تا ۷۵٪) ارتوبیروکسن (۲۲ تا ۳۴٪) و کلینوپیروکسن (۵٪ تا ۱۰٪) و کروم اسپینل (کمتر از ۰.۵٪) هستند. الیوین و ارتوبیروکسن بطور معمول خاموشی‌های موجی و شکنج نشان می‌دهند. کلینوپیروکسن‌های دارای شکنج و با تیغه‌های جدایشی خمیده در ارتوبیروکسن‌های درشت دانه دیده می‌شوند. در برخی مقاطع، دانه‌های الیوین بصورت پورفیری آواری‌های تغییر شکل یافته و یا به شکل میانبارهایی در بلورهای ارتوبیروکسن دیده می‌شوند که می‌تواند نشان دهنده تقدم تبلور این الیوین‌ها نسبت به پیروکسن‌های میزبان آن‌ها باشد (شکل ۲ چ). به نظر می‌رسد که با تبلور الیوین‌های بصورت میانبار در پیروکسن، شرایط کاهش Mg ماقماً و فرست برای تبلور پیروکسن فراهم شده است. سرانجام پس از تبلور پیروکسن‌ها به صورت نیمه شکل دار و با کاهش نسبی Ca و افزایش Mg و Fe در مذاب باقی مانده، دوباره بلورهای الیوین بین کومه‌ای متبلور شده‌اند.

ورلیت: این سنگ‌ها به صورت دایکی و آشکارا در مرز گابروهای نفوذی و پریدوتیت‌های گوشه‌ای رخمنون دارند، نخستین بار توسط مرادپور و همکاران [۱۱] در منطقه معرفی شدند. ورلیت‌ها در رخمنون صحرایی رنگ سیاه و پهنه‌ای ۸ تا ۱۰ متر دارند (شکل ۲ ح) و از نظر میکروسکوپی به طور کامل از الیوین‌های سالم تا کاملاً سرپانتینی شده (۲۰٪ تا ۳۰٪) و کلینوپیروکسن (۷۰٪ تا ۸۰٪) تشکیل شده‌اند. بافت‌های موجود در این سنگ‌ها از نوع دانه شکفتی، غربالی و مشبك هستند. اندازه کانی‌ها متوسط تا دانه درشت است و به ۰.۵ سانتیمتر نیز می‌رسد. در این سنگ‌ها، سرپانتین که از تجزیه بخشی الیوین‌ها به وجود آمده، بافتی مشبك به آن‌ها بخشیده است. الیوین‌ها دارای لبه

الیگوسن تا اوایل میوسن دارد. این سازند بصورت ناپیوسته بر همه افیولیت‌های کرمانشاه قرار دارد [۵].

روش مطالعه

به منظور بررسی پریدوتیت‌های گوشه‌ای در منطقه صحنه، هرسین-نورآباد و تجزیه شیمی کانی‌ها، تعداد ۱۰ مقاطع نازک صیقلی تهیه شده و کانی‌های موجود در آن‌ها شامل ارتوبیروکسن، کلینوپیروکسن، الیوین و کروم اسپینل با ریزپردازشگر الکترونی Cameca SX-100 در مرکز تحقیقات و فرآوری مواد معدنی ایران با ولتاژ ستاب دهنده ۱۵ kV و شدت جریان ۲۰ nA تجزیه شد. محاسبه مقادیر Fe^{2+} و Fe^{3+} با استفاده از رابطه زیر جدول ۱ (مراجع [۹، ۷]) و نیز محاسبات زمین فشار-دماسنجی بر نتایج ریزپردازش الکترونی کانی‌ها با واسنجی مختلف و با نرم افزار اکسل انجام شد.

سنگ‌نگاری

دونیت: دونیت‌ها اغلب شامل از بیش از ۹۰٪ الیوین و یا سرپانتین با مقادیر کمی از ارتوبیروکسن و مقادیر پراکنده‌ای از کروم اسپینل هستند. این سنگ‌ها دارای بافت دانه‌ای هستند و بین دانه‌ها نقاط تقاطع سه گانه دیده می‌شوند (شکل ۲ الف، [۱۰]) و بصورت محلی دچار باز تبلور شده‌اند که نشان از باز تعادل در شرایط دما و فشار پوسته‌ای دارند. بلورهای الیوین دانه درشت شکستگی، خاموشی موجی و شکنج دارند (شکل ۲ ب) که عملکرد دگرگشکلی دمای بالا و واستگی این سنگ‌ها را به گوشه‌های بالای نشان می‌دهد.

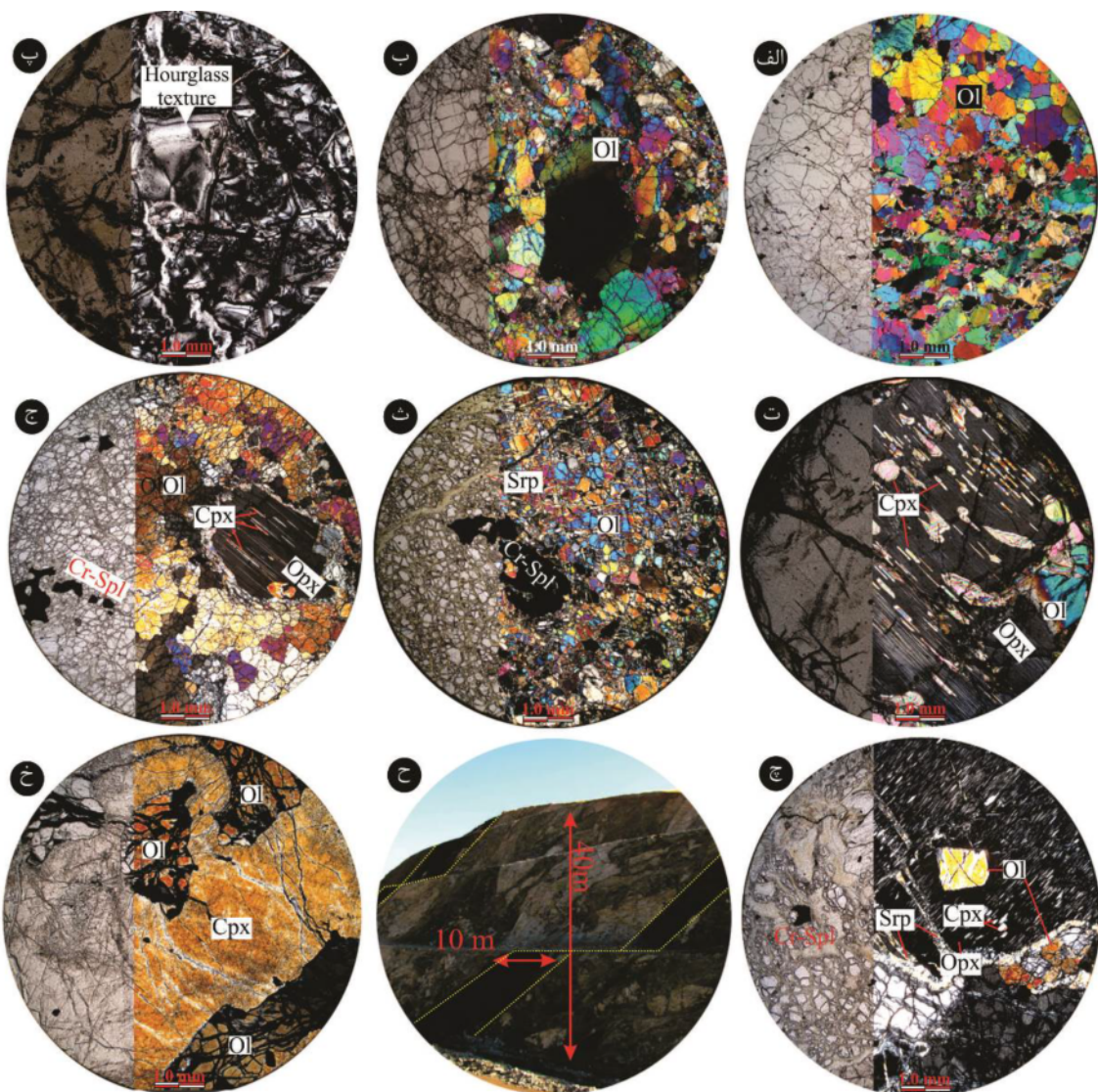
این سنگ‌ها با درجه‌های متغیر سرپانتینی شده‌اند. در برخی مقاطع، کروم اسپینل‌ها بصورت بلورهای بی‌شکل تا نیمه شکل دار در کنار الیوین‌ها دیده می‌شوند.

هارزبورژیت: هارزبورژیت‌ها با بافت دانه‌ای، الیوین (۶۵٪ تا ۸۰٪)، ارتوبیروکسن (۱۵٪ تا ۳۰٪) و کلینوپیروکسن (۰.۵٪) و کانی‌های فرعی شامل کروم اسپینل و همچنین کانی‌های ثانویه چون سرپانتین و مگنتیت تشکیل شده‌اند. در برخی نمونه‌ها، سرپانتین بصورت رگه‌های نازک، الیوین و ارتوبیروکسن را قطع نموده‌اند در نمونه‌های کاملاً سرپانتینی شده، بافت‌های غربالی و ساعت شنی نمایان است (شکل ۲ پ). پورفیری آواری‌های ارتوبیروکسن بیشتر توسط شکستگی‌های نامنظم دچار خرد شدگی شده‌اند و برخی دارای ماکلهای ساده و برخی دیگر

های منحنی، خلیجی شکل و نامنظم هستند که نشانگر هضم آنهاست (شکل ۲خ).
شیمی کانی الیوین: ترکیب الیوین در پریدوتیت‌های گوشتهای در جدول ۱ ارائه شده است. به طور میانگین، مقدار

$Fo = Mg/(Mg + Fe_{total})$ برابر با $90/40$ در دونیت، $90/18$ در هارزبورزیت، $90/29$ در لرزولیت و $87/35$ در ورلیت است، که نشان می‌دهد که الیوین در دونیت منیزیم بیشتر و به سمت ورلیت مقدار منیزیم کمتری را دارد.

های منحنی، خلیجی شکل و نامنظم هستند که نشانگر هضم آنهاست (شکل ۲خ).



شکل ۲ الف: بلورهای بی شکل الیوین با بافت دانه ای اولیه و تقاطع سه گانه در سنگ‌های دونیتی. ب: خاموشی موجی و شکنج در بلورهای الیوین نمونه‌های دونیتی. پ: بافت‌های مش و ساعت شنی در هارزبورزیت‌های سرپانتینی شده. ت: تیغه‌های جدایشی کلینوپیروکسن در بلورهای دانه درشت ارتوبیروکسن نمونه‌های هارزبورزیتی. ث: بلورهای بی شکل تا نیمه شکل دار کروم اسپینل. ج: آرایش زنجیری بلورهای کروم اسپینل در سنگ‌های هارزبورزیتی. ج: تیغه‌های جدایشی کلینوپیروکسن در ارتوبیروکسن و میانبارهای الیوین شکل دار در بلورهای ارتوبیروکسن. ح: دایک‌های ورلیتی در مز توالی گابرویی و پریدوتیتی در جنوب شهرستان صحنه (دره گاماسیاب). خ: بلورهای الیوین با لبه‌های خلیجی شکل و نامنظم در کنار بلورهای کلینوپیروکسن در نمونه‌های ورلیتی (همه تصاویر میکروسکوپی در نور عادی و قطبشی تهیه شده‌اند)، نشانه‌های اختصاری کانی‌ها برگرفته از مرجع [۱۰] هستند.

جدول ۱ نتایج تجزیه کانی الیوین (Ol) در پریدوتیت‌های گوشه‌ای صحنه، هرسین-نورآباد به روش ریزپردازش الکترونی.

سنگ	Hz	Lz	Lz	Du	Du	Du	Hz	Hz	Hz	Wh	Wh	Wh
نمونه	PR-۲۳	HZ-۱۳	HZ-۱۳	PR-۲۸	PR-۲۸	PR-۲۸	PR-۱۰	PR-۱۰	PR-۱۰	PRV-۱	PRV-۱	PRV-۱
SiO ₂	۴۱,۳۲	۴۰,۶۳	۴۰,۵۰	۴۱,۰۶	۴۰,۵۳	۴۰,۳۹	۴۱,۹۴	۴۰,۵۱	۴۱,۵۵	۴۱,۰۲	۴۰,۶۸	۴۰,۷۴
TiO ₂	۰,۰۰	۰,۰۰	۰,۰۰	۰,۰۰	۰,۰۰	۰,۰۰	۰,۰۱	۰,۰۱	۰,۰۲	۰,۰۰	۰,۰۰	۰,۰۰
Al ₂ O ₃	۰,۴۱	۰,۰۲	۰,۰۰	۰,۰۰	۰,۰۰	۰,۰۰	۰,۰۰	۰,۰۰	۰,۰۰	۰,۰۰	۰,۰۰	۰,۰۰
Cr ₂ O ₃	۰,۰۳	۰,۰۰	۰,۰۱	۰,۰۱	۰,۰۰	۰,۰۰	۰,۰۰	۰,۰۰	۰,۰۴	۰,۰۱	۰,۰۰	۰,۰۰
FeO*	۶,۵۴	۹,۴۶	۹,۴۰	۹,۲۴	۹,۲۵	۹,۱۳	۱۰,۲۰	۹,۹۵	۹,۸۵	۱۱,۴۹	۱۲,۱۹	۱۱,۷۲
MnO	۰,۰۹	۰,۱۶	۰,۱۵	۰,۱۴	۰,۱۳	۰,۱۳	۰,۱۲	۰,۱۱	۰,۱۴	۰,۲۹	۰,۲۴	۰,۲۴
MgO	۵۰,۶۷	۵۰,۱۹	۵۰,۴۲	۵۰,۰۰	۵۰,۴۵	۵۰,۳۱	۴۶,۴۵	۴۷,۳۰	۴۷,۵۴	۴۷,۰۶	۴۶,۸۱	۴۷,۲۲
CaO	۰,۰۴	۰,۰۵	۰,۰۳	۰,۰۶	۰,۰۹	۰,۰۷	۰,۰۲	۰,۰۲	۰,۰۵	۰,۰۳	۰,۰۹	۰,۰۹
K ₂ O	۰,۰۲	۰,۰۳	۰,۰۱	۰,۰۱	۰,۰۱	۰,۰۲	۰,۰۰	۰,۰۱	۰,۰۰	۰,۰۰	۰,۰۰	۰,۰۱
P ₂ O ₅	۰,۰۰	۰,۰۰	۰,۰۲	۰,۰۲	۰,۰۲	۰,۰۴	۰,۰۰	۰,۰۱	۰,۰۵	۰,۰۲	۰,۰۰	۰,۰۱
NiO	۰,۰۲	۰,۲۷	۰,۲۵	۰,۲۷	۰,۲۷	۰,۲۴	۰,۳۷	۰,۳۳	۰,۳۹	۰,۲۲	۰,۱۸	۰,۲۴
مجموع	۹۹,۱۴	۱۰۰,۸۱	۱۰۰,۷۹	۱۰۰,۸۱	۱۰۰,۷۵	۱۰۰,۳۳	۹۹,۱۰	۹۸,۳۲	۹۹,۵۹	۱۰۰,۱۸	۱۰۰,۱۴	۱۰۰,۲۷

فرمول ساختاری بر پایه ۴ اتم اکسیژن

a.p.f.u

Si	۱,۰۰۸	۰,۹۸۴	۰,۹۸۱	۰,۹۹۶	۰,۹۸۱	۰,۹۸۲	۱,۰۵	۱,۰۱	۱,۰۳	۱,۰۱۶	۱,۰۰۹	۱,۰۰۸
Ti	۰,۰۰	۰,۰۰	۰,۰۰	۰,۰۰	۰,۰۰	۰,۰۰	۰,۰۰	۰,۰۰	۰,۰۰	۰,۰۰	۰,۰۰	۰,۰۰
Al	۰,۰۱۲	۰,۰۰۱	۰,۰۰	۰,۰۰	۰,۰۰	۰,۰۰	۰,۰۰	۰,۰۰	۰,۰۰	۰,۰۰	۰,۰۰	۰,۰۰
Cr	۰,۰۰۱	۰,۰۰	۰,۰۰	۰,۰۰	۰,۰۰	۰,۰۰	۰,۰۰	۰,۰۰	۰,۰۰	۰,۰۰	۰,۰۰	۰,۰۰
Fe ³⁺	۰,۰۰	۰,۰۲۷	۰,۰۳۴	۰,۰۰۵	۰,۰۳۴	۰,۰۳۳	۰,۰۰	۰,۰۰	۰,۰۰	۰,۰۰	۰,۰۰	۰,۰۰
Fe ²⁺	۰,۱۳۳	۰,۱۶۴	۰,۱۵۴	۰,۱۸	۰,۱۵۳	۰,۱۵۱	۰,۲۱۴	۰,۲۰۹	۰,۲۰۵	۰,۲۳۸	۰,۲۵۳	۰,۲۴۳
Mn	۰,۰۰۲	۰,۰۰۳	۰,۰۰۳	۰,۰۰۳	۰,۰۰۳	۰,۰۰۳	۰,۰۰۳	۰,۰۰۲	۰,۰۰۳	۰,۰۰۶	۰,۰۰۵	۰,۰۰۵
Mg	۱,۸۴۳	۱,۸۱۵	۱,۸۲۲	۱,۸۰۹	۱,۸۲۲	۱,۸۲۴	۱,۷۳۳	۱,۷۷	۱,۷۵۹	۱,۷۳۸	۱,۷۳۲	۱,۷۴۲
Ca	۰,۰۰۱	۰,۰۰۱	۰,۰۰۱	۰,۰۰۲	۰,۰۰۲	۰,۰۰۲	۰,۰۰۱	۰,۰۰۱	۰,۰۰۱	۰,۰۰۱	۰,۰۰۲	۰,۰۰۲
Ni	۰,۰۰	۰,۰۰۵	۰,۰۰۵	۰,۰۰۵	۰,۰۰۵	۰,۰۰۵	۰,۰۰۶	۰,۰۰۵	۰,۰۰۵	۰,۰۰۴	۰,۰۰۵	۰,۰۰۴
Fo%	۹۳,۱۱	۹۰,۲۳	۹۰,۳۶	۹۰,۴۱	۹۰,۴۵	۹۰,۵۶	۸۸,۸۹	۸۹,۳۲	۸۹,۴۳	۸۷,۶۲	۸۷	۸۷,۴۵
Fa%	۶,۷۴	۹,۵۴	۹,۴۵	۹,۳۷	۹,۳	۹,۲۲	۱۰,۹۵	۱۰,۵۴	۱۰,۳۹	۱۲	۱۲,۷۱	۱۲,۱۸
Ca-OI	۰,۰۵	۰,۰۶	۰,۰۴	۰,۰۸	۰,۱۲	۰,۰۹	۰,۰۳	۰,۰۳	۰,۰۳	۰,۰۷	۰,۰۴	۰,۱۲
Mg#	۰,۹۳	۰,۹۲	۰,۹۲	۰,۹۱	۰,۹۲	۰,۹۲	۰,۸۹	۰,۸۹	۰,۹۰	۰,۸۸	۰,۸۷	۰,۸۸
Fe#	۰,۰۷	۰,۰۸	۰,۰۸	۰,۰۹	۰,۰۸	۰,۰۸	۰,۱۱	۰,۱۱	۰,۱۰	۰,۱۲	۰,۱۳	۰,۱۲

Hz: هارزبورزیت، Du: دونیت، Lz: لرزولیت، Wh: ورلیت، Fo: فورسترتیت، Fa: فایالیت، Fe#: Fe/(Fe²⁺+Mg)، Mg #: Mg/(Mg+Fe²⁺)، a.p.f.u: انتقالی از ماتریس سنگ‌های فرامافیک از انباست کانی‌های شکل می‌گیرند که در مراحل مختلف از مagma متبلور شده‌اند، ترکیب شیمیایی سنگ کل آن-ها نمی‌تواند گویای ترکیب شیمیایی magma اولیه باشد، البته، ترکیب شیمیایی کانی‌ها کمک قابل توجهی به تعیین ترکیب شیمیایی magma اولیه می‌کند.

بر این اساس، با توجه به مقادیر آهن و منیزیم موجود در الیوین نمونه‌ها (جدول ۱) و ضریب جدایشی این دو عنصر در این کانی و به کمک رابطه زیر، فراوانی عناصر مورد نظر در

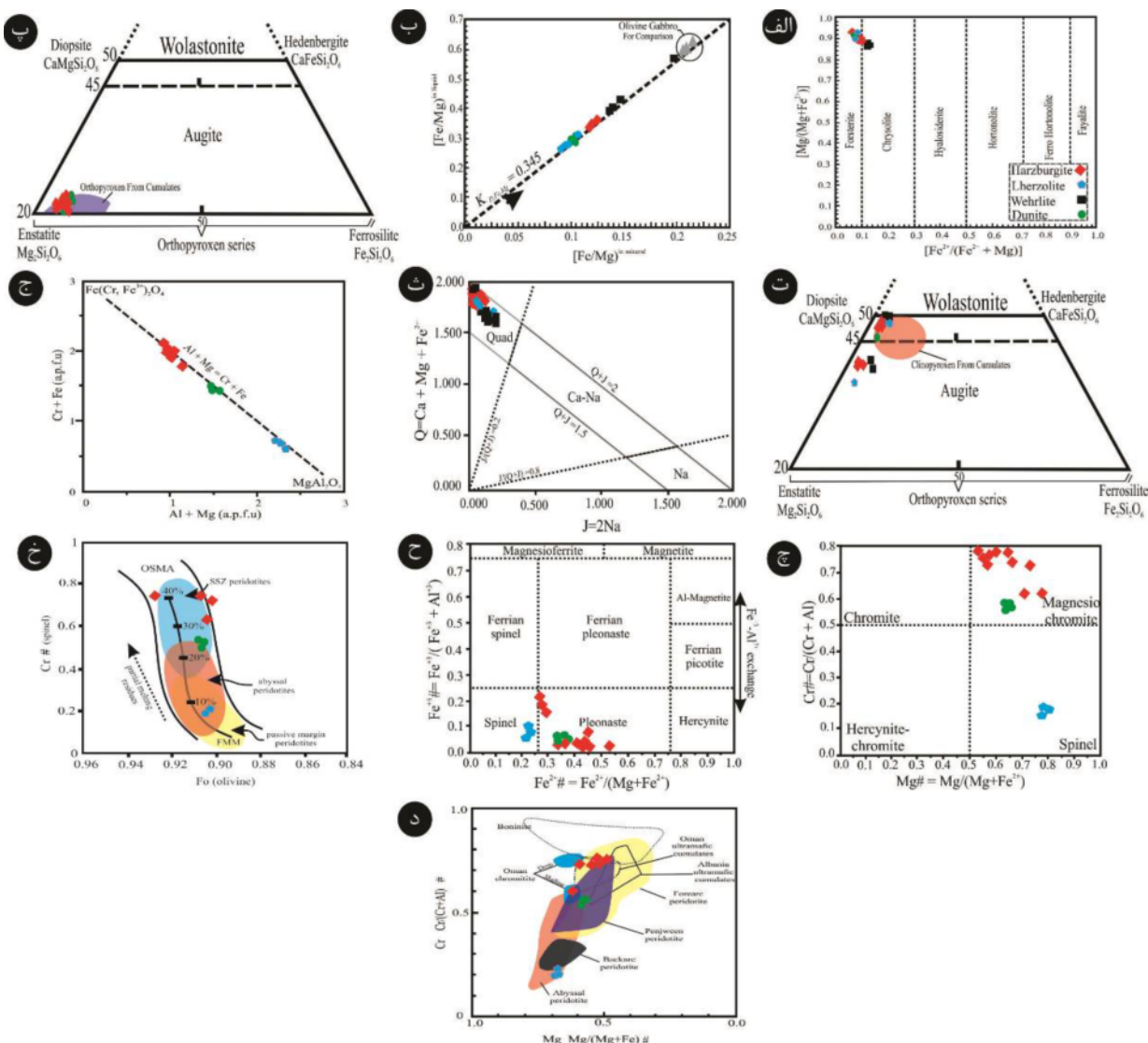
به جز الیوین موجود در ورلیت‌ها، در سایر نمونه‌های فرامافیک ترکیب شیمیایی الیوین‌ها تفاوت قابل توجهی را نشان نمی‌دهد به طوری که، رسم نتایج در نمودار Fe # = Fe/(Fe²⁺+Mg) Mg # = Mg/(Mg+Fe²⁺) [۱۲] نشانگر ترکیب فورسترتیتی الیوین‌های موجود در دونیت، هارزبورزیت و لرزولیت و نیز ترکیب کربیزولیتی الیوین‌های موجود در ورلیت‌هاست (شکل ۳ الف). براساس نظر دو هوگ و همکاران [۱۲] الیوین را می‌توان به دو دسته با خاستگاه ماگمایی و خاستگاه گوشه‌ای تقسیم کرد. از آنجا که سنگ‌های

بررسی، گفته شده [۹].

که $K_{D,Fe,Mg}$ ضریب جدایش نسبت Fe/Mg برای کانی الیوین $(Fe/Mg)^{mineral}$ و برابر با 0.345 است؛ $(Fe/Mg)^{liquid}$ نسبت Fe/Mg (داده‌های جدول ۱) و Fe/Mg نسبت گذاره‌ی در تعادل با کانی هستند.

ماگمای در حال تعادل با کانی الیوین (ماگمای که کانی از آن متبلور شده است) محاسبه شد:

$$K_{D,Fe,Mg} = (Fe/Mg)^{mineral}/(Fe/Mg)^{liquid} \quad (1)$$



شکل ۳: الف: نمودار $Mg\#$ نسبت به $Fe\#$ [۱۱] و موقعیت ترکیبی الیوین پریدوتیت‌های مجموعه افیولیتی کرمانشاه بر آن. ب: تغییرات $(Fe/Mg)^{mineral}$ در کانی الیوین در سنگ‌های پریدوتیتی (نمونه‌های الیوین گابروی منطقه مورد بررسی برای مقایسه ارائه شده‌اند). پ: انتهایی Fs , En , Wo , $OsMA$, SSZ پریدوتیت‌های موجود در پریدوتیت‌های مجموعه افیولیتی کرمانشاه بر آن. ت: نمودار اعضاء انتهایی Fs , En , Wo , QJ [۱۵] و گستره ترکیبی کلینوپیروکسن‌های موجود در پریدوتیت‌های مجموعه افیولیتی کرمانشاه بر آن. ث: نمودار $J=QJ$ [۱۶] و گستره ترکیبی کلینوپیروکسن‌های موجود در سنگ‌های پریدوتیتی بر آن. ج: نمودار $Cr+Fe$ نسبت به $Al+Mg$ (نیز $Cr=Al$ نمودار) [۱۱]. د: نمودار $Mg\#$ نسبت به $Fe^{2+}/(Fe^{2+}+Mg^{2+})$ (نیز Fe^{2+}/Al^{3+} نمودار) [۱۷]. ه: نمودار $Cr\#$ نسبت به $Mg/(Mg+Fe)$ (نیز $Mg\#$ نمودار) [۱۸]. بونینیت از مرجع [۱۹]. پریدوتیت جلوی قوس از مرجع [۲۰]. کوموله‌های عمان از مرجع [۲۱]. کرومیت‌های عمان از مرجع [۲۲]. پریدوتیت‌های پنجوین از مرجع [۳] برای مقایسه نشان داده شده‌اند.

شد از جمله شواهد مهم برای خاستگاه گوشه‌ای الیوین‌های مورد بررسی هستند.

ارتوبیروکسن: بر اساس نتایج تجزیه نقطه‌ای ارتوبیروکسن‌ها (جدول ۲) این کانی از نظر ترکیب اعضاء انتهایی، دارای گسترده ترکیبی $En_{86/56-92/34}$ و $W_{0.01-5/67}$ است. میانگین مقدار عدد منیزیوم ($Mg\# = Mg/(Mg+Fe^{2+})$) در این کانی ۰.۹۴۷ بوده که نسبت به مقادیر موجود در الیوین‌ها (با میانگین ۰.۹۰۲) بیشتر است. این امر نشان می‌دهد که توزیع Fe و Mg بین دو فاز الیوین و ارتوبیروکسن عامل مؤثری در ایجاد تعادل شیمیایی است. همه ارتوبیروکسن‌ها دارای مقایر تقریباً یکسانی از TiO_2 هستند (میانگین ۰.۰۰۱ wt%). رسم نتایج تجزیه این کانی در نمودار W_{0} ، En و Fs [۱۵] نشانگر ترکیب انسنتیتی آن‌ها و قرارگیری در میدان ارتوبیروکسن‌های انباشتی است (شکل ۳ پ).

نتایج این محاسبه در شکل ۳ ب نشان داده شده است. دیده می‌شود که نسبت Mg/Fe گدازه در تعادل با کانی الیوین در همه سنگ‌ها دارای روند یکسانی بوده و دارای تغییرات خطی است. این می‌تواند دلیل قابل قبولی برای خاستگاه مشترک همه الیوین‌های مورد بررسی باشد. در این شکل، نتایج محاسبات برای الیوین موجود در گابروهای منطقه نیز به منظور مقایسه ارائه شده است. قرارگیری $D_{Fe,Mg} = ۰.۳۴۵$ و K در سنگ‌های فرامافیک در آغاز خط راست، افزون بر تایید خاستگاه مشترک گابروها با سنگ‌های فرامافیک، نشان می‌دهد که تبلور بخشی عامل اصلی شکل-گیری ماقمای مافیک بوده است. از طرفی، به اعتقاد برخی پژوهشگران [۲۳]، وجود شکنج و اتصال سه گانه در الیوین‌ها که در بخش سنگنگاری (شکل‌های ۲ الف و ب) به آن اشاره

جدول ۲ نتایج تجزیه کانی ارتوبیروکسن (Opx) در پریدوتیت‌های گوشه‌ای صحنه، هرسین-نورآباد به روش ریزپردازش الکترونی.

سنگ	Hz	Hz	Hz	Hz	Hz	Hz	Hz	Hz	Du	Du	Du	Du
نموده	PR-۲۳	PR-۲۳	PR-۲۳	PR-۲۳	PR-۱۰	PR-۱۰	PR-۱۰	PR-۱۰	PR-۲۸	PR-۲۸	PR-۲۸	PR-۲۸
SiO_2	۵۴.۶۵	۵۵.۴۹	۵۴.۸۹	۵۴.۸۱	۴۸.۲۷	۴۷.۱۰	۴۶.۰۴	۴۲.۴۸	۵۵.۶۹	۵۶.۰۱	۵۶.۰۱	۵۷.۰۲
TiO_2	۰.۰۱	۰.۰۱	۰.۰۱	۰.۰۱	۰.۰۲	۰.۰۲	۰.۰۰	۰.۰۱	۰.۰۰	۰.۰۰	۰.۰۰	۰.۰۰
Al_2O_3	۲.۶۲	۲.۶۹	۳.۱۹	۲.۷۶	۱.۶۷	۱.۶۶	۱.۷۲	۲.۱۰	۲.۱۰	۲.۳۳	۲.۲۰	۲.۰۲
Cr_2O_3	۰.۶۲	۰.۸۴	۰.۸۲	۰.۷۲	۰.۶۹	۰.۷۱	۰.۷۴	۱.۳۲	۰.۸۷	۰.۸۹	۰.۸۶	۰.۶۸
FeO^*	۳.۸۱	۵.۵۲	۵.۶۱	۵.۶۷	۳.۹۱	۵.۸۷	۶.۲۳	۸.۶۵	۵.۸۶	۵.۱۲	۵.۷۶	۵.۵۰
MnO	۰.۰۸	۰.۱۳	۰.۱۳	۰.۱۵	۰.۱۲	۰.۱۴	۰.۱۰	۰.۱۱	۰.۱۳	۰.۱۳	۰.۱۴	۰.۱۳
MgO	۳۴.۰۶	۳۳.۲۲	۳۲.۵۴	۳۴.۱۰	۴۲.۸۱	۴۲.۶۵	۴۲.۸۳	۴۵.۲۵	۳۲.۹۵	۲۲.۲۳	۳۳.۲۹	۳۲.۴۳
CaO	۲.۶۷	۲.۷۳	۲.۵۵	۲.۰۶	۱.۸۹	۱.۷۸	۱.۷۸	۰.۰۱	۲.۵۴	۳.۰۲	۲.۴۳	۱.۸۱
Na_2O	۰.۰۰	۰.۰۵	۰.۰۱	۰.۰۰	۰.۰۰	۰.۰۰	۰.۰۰	۰.۰۱	۰.۰۰	۰.۰۰۲	۰.۰۰	۰.۰۰
K_2O	۰.۰۰	۰.۰۲	۰.۰۲	۰.۰۱	۰.۰۰	۰.۰۰	۰.۰۰	۰.۰۰	۰.۰۳	۰.۰۰	۰.۰۲	۰.۰۲
NiO	۰.۰۴	۰.۱۵	۰.۱۰	۰.۰۳	۰.۰۴	۰.۰۸	۰.۰۳	۰.۰۰	۰.۱۰	۰.۰۷	۰.۱۰	۰.۰۸
P_2O_5	۰.۰۰	۰.۰۴	۰.۰۰	۰.۰۰	۰.۰۰	۰.۰۰	۰.۰۶	۰.۰۶	۰.۱	۰.۰۰	۰.۰۰	۰.۰۲
مجموع	۹۸.۵۶	۱۰۰.۹۰	۱۰۰.۸۷	۱۰۰.۳۲	۹۹.۳۸	۹۹.۹۳	۱۰۰.۴۴	۹۹.۹۴	۱۰۰.۲۸	۱۰۰.۸۲	۱۰۰.۸۱	۱۰۰.۷۱
فرمول ساختاری برای ۶ اتم اکسیژن <i>a.p.f.u</i>												
Si	۱.۸۹۹	۱.۹۰۳	۱.۸۷۸	۱.۸۸	۱.۶۹	۱.۵۶۸	۱.۵۲	۱.۴۰۷	۱.۹۲۵	۱.۹۲	۱.۹۲۳	۱.۷۵۹
Ti	۰.۰۰	۰.۰۰	۰.۰۰	۰.۰۰	۰.۰۰۱	۰.۰۰۱	۰.۰۰	۰.۰۰	۰.۰۰	۰.۰۰	۰.۰۰	۰.۰۰
Al	۰.۱۰۷	۰.۱۰۹	۰.۱۲۹	۰.۱۱۲	۰.۰۶۶	۰.۰۶۵	۰.۰۷	۰.۰۸۲	۰.۰۸۶	۰.۰۹۵	۰.۰۸۹	۰.۰۸۲
Cr	۰.۰۱۷	۰.۰۲۳	۰.۰۲۲	۰.۰۲	۰.۰۱۸	۰.۰۱۹	۰.۰۱۹	۰.۰۳۵	۰.۰۲۴	۰.۰۲۴	۰.۰۲۳	۰.۰۱۸
Fe^{3+}	۰.۰۷۸	۰.۰۶۵	۰.۰۹۲	۰.۱۰۶	۰.۰۴۶	۰.۰۴۶	۰.۰۴۸	۰.۰۴۸	۰.۰۴	۰.۰۴۲	۰.۰۴	۰.۰۰
Fe^{2+}	۰.۰۳۳	۰.۰۹۴	۰.۰۶۹	۰.۰۵۷	۰.۰۶۳	۰.۱۱۸	۰.۱۲۴	۰.۱۹۲	۰.۱۲۹	۰.۱۰۵	۰.۱۲۶	۰.۱۵۸
Mn	۰.۰۰۲	۰.۰۰۴	۰.۰۰۴	۰.۰۰۴	۰.۰۰۳	۰.۰۰۴	۰.۰۰۳	۰.۰۰۳	۰.۰۰۴	۰.۰۰۴	۰.۰۰۴	۰.۰۰۴
Mg	۱.۷۶۵	۱.۶۹۸	۱.۷۱	۱.۷۴۵	۲.۱۲۶	۲.۱۱۵	۲.۱۵۶	۲.۲۳۳	۱.۶۹۷	۱.۶۹۸	۱.۷۰۵	۱.۷۱۱
Ca	۰.۰۹۹	۰.۱	۰.۰۹۴	۰.۰۷۶	۰.۰۶۸	۰.۰۶۴	۰.۰۶۳	۰.۰۰	۰.۰۹۴	۰.۱۱۱	۰.۰۸۹	۰.۰۷
Na	۰.۰۰	۰.۰۰۳	۰.۰۰۱	۰.۰۰	۰.۰۰	۰.۰۰	۰.۰۰	۰.۰۰۱	۰.۰۰	۰.۰۰۱	۰.۰۰	۰.۰۰
K	۰.۰۰	۰.۰۰۱	۰.۰۰۱	۰.۰۰	۰.۰۰	۰.۰۰	۰.۰۰	۰.۰۰۱	۰.۰۰	۰.۰۰۱	۰.۰۰۱	۰.۰۰۱
$Mg\#$	۰.۹۸	۰.۹۵	۰.۹۶	۰.۹۷	۰.۹۷	۰.۹۵	۰.۹۵	۰.۹۲	۰.۹۳	۰.۹۴	۰.۹۳	۰.۹۲
$Cr\#$	۰.۱۴	۰.۱۷	۰.۱۵	۰.۱۵	۰.۲۱	۰.۲۳	۰.۲۲	۰.۲۹	۰.۲۲	۰.۲۰	۰.۲۱	۰.۱۸
$Fe\#$	۰.۰۲	۰.۰۵	۰.۰۴	۰.۰۳	۰.۰۳	۰.۰۵	۰.۰۵	۰.۰۷	۰.۰۷	۰.۰۶	۰.۰۷	۰.۰۸
Al^{IV}	۰.۱۰۱	۰.۰۹۷	۰.۱۲۱	۰.۱۱۲	۰.۰۶۶	۰.۰۶۵	۰.۰۶۷	۰.۰۸۲	۰.۰۷۵	۰.۰۸	۰.۰۷۶	۰.۰۴۱
Al^{VI}	۰.۰۰۶	۰.۰۱۲	۰.۰۰۸	۰.۰۰	۰.۰۰	۰.۰۰	۰.۰۰	۰.۰۱	۰.۰۱۵	۰.۰۱۳	۰.۰۱۴	۰.۰۱۴
Q	۱.۸۹۷	۱.۸۹۲	۱.۸۷۳	۱.۸۷۸	۲.۲۵۷	۲.۲۹۷	۲.۳۴۳	۲.۴۲۵	۱.۹۲	۱.۹۱۴	۱.۹۲	۱.۹۳۶
Wo	۵.۰۳	۵.۱۲	۴.۷۶	۳.۸۲	۲.۹۳	۲.۷۱	۲.۶۳	۱.۰۱	۴.۸	۵.۶۷	۴.۰۷	۳.۴۴
En	۸۹.۳۶	۸۶.۷۹	۸۷.۰۷	۸۷.۹۷	۹۲.۳۴	۹۰.۳۲	۹۰.۱۸	۹۰.۳۱	۸۶.۵۶	۸۶.۸۳	۸۶.۹۹	۸۸.۴
Fs	۵.۶۱	۸.۹	۸.۱۷	۸.۲۱	۴.۷۳	۶.۹۷	۷.۱۹	۹.۶۸	۸.۶۴	۷.۵	۸.۴۴	۸.۱۶

$Q = Cr\# = Cr/(Cr + Al)$ $Fe\# = Fe/(Fe^{2+} + Mg)$ $Mg\# = Mg/(Mg + Fe^{2+})$ Wo : دونیت، En : لاستونیت، Fs : فروسلیت، Al^{IV} : هارزبورزیت، Al^{VI} : گابرو، Q : انسنتیت، $Ca + Mg + Fe^{2+}$

کلینوپیروکسن‌ها در گستره پیروکسن‌های کلسیم- آهن و منیزیم‌دار (Quad) قرار دارند (شکل ۳ ث). بر اساس جدول ۳، با کاهش مقدار $Mg\#$ TiO_2 بطور تدریجی افزایش می- یابد، در حالی که مقادیر Al_2O_3 و Na_2O کاهش تندی را نشان می‌دهند. مقدار Na_2O کلینوپیروکسن در ورليت‌ها به طور میانگین برابر با 0.52 wt\% بوده که بسیار بیشتر از مقدار Na_2O موجود در کلینوپیروکسن لرزولیت‌ها و هارزبورزیت‌ها (با میانگین 0.2 wt\%) است. با توجه به همسایگی دایک‌های ورليتی با گابروهای منطقه، افزایش در مقدار Na_2O این کانی‌ها بی تاثیر از پلاژیوکلاز‌گابروها نبوده است (جدول ۳).

کلینوپیروکسن: ترکیب کلینوپیروکسن پریدوتیت‌های گوشتی‌ای در جدول ۳ ارائه شده است. چنان که از نمودار Fs و En , Wo و Lz مشخص است، کلینوپیروکسن‌ها دارای ترکیب دیوبسید $Mg\#$ از 0.88 تا 0.99 متغیر است. میانگین مقدار Al_2O_3 کلینوپیروکسن در هارزبورزیت 2.66 wt\% در لرزولیت 5.88 wt\% و در ورليت‌ها 5.26 wt\% است. در راستای تبیین نوع $J=2Na$ $Q=Ca+Mg+Fe^{2+}$ نسبت به $J=2Na$ است. بر اساس این تقسیم‌بندی، طرح نتایج تجزیه کلینوپیروکسن‌ها در نمودار $Q-J$ نشان می‌دهد که همه

جدول ۳ نتایج تجزیه کانی کلینوپیروکسن (Cpx) در پریدوتیت‌های گوشتی‌ای صحنه، هرسین - نورآباد به روش ریزپردازش الکترونی.

سنگ نمونه	Du	Hz	Hz	Hz	Hz	Hz	Hz	Lz	Lz	Lz	Wh	Wh	Wh	Wh
	PR-۲۸	PR-۲۳	PR-۲۳	PR-۲۳	PR-۱۰	PR-۱۰	PR-۱۰	HZ-۱۳	HZ-۱۳	HZ-۱۳	PRV-۱	PRV-۱	PRV-۱	PRV-۱
SiO_2	۵۲.۵	۵۳.۳۱	۵۳.۶۸	۵۴.۱۸	۴۷.۸۳	۴۸.۸۹	۴۸.۷۱	۵۱.۳۸	۵۱.۵۷	۵۳.۰۸	۵۴.۷۸	۵۴.۸۸	۵۱.۱۸	۵۳.۰۸
TiO_2	۰.۰۰	۰.۰۴	۰.۰۳	۰.۰۲	۰.۰۲	۰.۰۳	۰.۰۲	۰.۰۰	۰.۰۰	۰.۰۰	۰.۰۰	۰.۰۴	۰.۰۵	۰.۰۴
Al_2O_3	۲.۶۵	۳.۶۶	۳.۲۸	۲.۹۷	۱.۹۷	۲.۰۴	۲.۰۷	۵.۴۷	۶.۰۹	۶.۰۹	۰.۷۱	۰.۵۲	۱.۰۷	۹.۱۳
Cr_2O_3	۱.۶	۱.۲۲	۱.۱۵	۱.۰۵	۰.۹	۱.۰۲	۱	۱.۲۶	۱.۲۷	۱.۲۲	۰.۰۲	۰.۰۰	۰.۰۱	
FeO^*	۲.۸۴	۲.۴۴	۲.۲۲	۲.۰۸	۲.۷	۲.۵۹	۲.۳	۲.۵۳	۲.۸۷	۲.۹۹	۲.۱۵	۲	۴.۲	۲۲.۷
MnO	۰.۱	۰.۰۶	۰.۰۸	۰.۰۹	۰.۰۸	۰.۰۸	۰.۰۵	۰.۰۵	۰.۱	۰.۰۳	۰.۲۹	۰.۰۳	۰.۰۶	۰.۰۴
MgO	۱۸.۹۵	۱۶.۵۳	۱۶.۹۵	۱۶.۴	۲۷.۱۲	۲۶.۰۷	۲۵.۶۵	۱۶.۴۶	۱۵.۹۸	۲۲.۳	۱۷.۲۳	۱۷.۵۶	۱۸.۳۶	۱۸.۳۵
CaO	۲۱.۱۶	۲۲.۷۲	۲۳.۰۱	۲۳.۷۱	۱۹.۸۶	۱۹.۷	۱۹.۶۲	۲۳.۱۵	۲۲.۳	۱۷.۷۴	۲۵.۴۷	۲۵.۶۶	۱۳.۴۶	۱۴.۵۱
Na_2O	۰.۰۱	۰.۰۰	۰.۰۱	۰.۰۰	۰.۰۱	۰.۰۹	۰.۰۱	۰.۴۷	۰.۳۴	۱.۲۵	۰.۰۳	۰.۰۰	۱.۲۸	۰.۷۷
K_2O	۰	۰.۰۱	۰.۰۱	۰.۰۱	۰.۰۰	۰.۰۰	۰.۰۰	۰.۰۲	۰.۰۰	۰.۰۶	۰.۰۲	۰.۰۰	۰.۰۴	۰.۰۰
NiO	۰.۰۷	۰.۴	۰.۳۳	۰.۳۳	۰.۰۲	۰.۰۲	۰.۰۰	۰.۰۴	۰.۰۴	۰.۰۵	۰.۰۰	۰.۰۱	۰.۰۹	۰.۰۸
مجموع	۱۰۰.۳۴	۱۰۰.۳۹	۱۰۰.۸۵	۱۰۰.۸۴	۱۰۰.۰۱	۱۰۰.۴۳	۱۰۰.۰۳	۱۰۰.۰۸۳	۱۰۰.۰۶	۹۹.۸۱	۱۰۰.۸	۱۰۰.۰۷	۹۹.۴۲	۹۹.۳۸
فرمول ساختاری بر پایه ۶ اتم اکسیژن														
<i>a.p.f.u</i>														
Si	۱.۹۳	۱.۹۴۴	۱.۹۴۴	۱.۹۶۷	۱.۶۶۵	۱.۷۰۸	۱.۷۰۹	۱.۸۴۸	۱.۸۶۵	۱.۸۷۸	۱.۹۷۷	۱.۹۸	۱.۸۳۳	۱.۹۱۱
Ti	۰.۰۰	۰.۰۰۱	۰.۰۰۱	۰.۰۰۱	۰.۰۰	۰.۰۰	۰.۰۰	۰.۰۰	۰.۰۰	۰.۰۰	۰.۰۰	۰.۰۰	۰.۰۰	۰.۰۰۱
Al	۰.۱۱۳	۰.۱۵۷	۰.۱۴	۰.۱۲۷	۰.۰۸۱	۰.۰۸۴	۰.۰۸۶	۰.۲۳۲	۰.۲۶	۰.۲۵۴	۰.۰۳	۰.۰۲۲	۰.۴۵۲	۰.۳۸۷
Cr	۰.۰۳	۰.۰۳۵	۰.۰۳۳	۰.۰۳	۰.۰۲۵	۰.۰۲۸	۰.۰۲۸	۰.۰۳۶	۰.۰۳۴	۰.۰۰	۰.۰۰	۰.۰۰	۰.۰۰	
Fe^{3+}	۰	۰.۰۰	۰.۰۰	۰.۰۰	۰.۰۵۶	۰.۰۶	۰.۰۵	۰.۰۷	۰.۰۰	۰.۰۴۲	۰.۰۲	۰.۰۰	۰.۰۰	
Fe^{2+}	۰.۰۸۶	۰.۰۷۴	۰.۰۷	۰.۰۶۳	۰.۰۲۳	۰.۰۱۵	۰.۰۳۹	۰.۰۰۶	۰.۰۸۷	۰.۰۴۶	۰.۰۴۴	۰.۱۲۶	۰.۱۰۱	
Mn	۰.۰۰۳	۰.۰۰۲	۰.۰۰۲	۰.۰۰۳	۰.۰۰۲	۰.۰۰۲	۰.۰۰۱	۰.۰۰۲	۰.۰۰۳	۰.۰۰۱	۰.۰۰	۰.۰۰۲	۰.۰۰۱	
Mg	۱.۰۱۹	۰.۹۸	۰.۹۱۵	۰.۸۸۷	۱.۴۰۷	۱.۳۵۷	۱.۳۴۱	۰.۸۸۲	۰.۸۶۱	۱.۱۷۸	۰.۹۳۲	۰.۹۴۴	۰.۹۸	۰.۹۸۵
Ca	۰.۸۱۸	۰.۸۸۸	۰.۸۹۳	۰.۹۲۲	۰.۷۴۱	۰.۷۲۷	۰.۷۲۷	۰.۸۹۲	۰.۸۶۴	۰.۴۸۲	۰.۹۸۵	۰.۹۹۲	۰.۵۱۷	۰.۵۶
Na	۰.۰۰۱	۰.۰۰	۰.۰۰۱	۰.۰۰	۰.۰۰۱	۰.۰۰۶	۰.۰۰۱	۰.۰۳۳	۰.۰۲۴	۰.۰۸۶	۰.۰۰	۰.۰۰	۰.۰۸۹	۰.۰۵۴
K	۰.۰۰	۰.۰۰	۰.۰۰	۰.۰۰	۰.۰۰	۰.۰۰	۰.۰۰	۰.۰۰۱	۰.۰۰	۰.۰۰۳	۰.۰۰	۰.۰۰	۰.۰۰	
$Mg\#$	۰.۹۲۲	۰.۹۲۴	۰.۹۲۹	۰.۹۳۴	۰.۹۸۴	۰.۹۸۹	۰.۹۷۲	۰.۹۹۳	۰.۹۰۸	۰.۹۶۲	۰.۹۵۲	۰.۹۵۵	۰.۸۸۶	۰.۹۰۷
$Cr\#$	۰.۲۱۰	۰.۱۸۲	۰.۱۹۱	۰.۱۹۱	۰.۱۳۶	۰.۲۵۰	۰.۲۴۶	۰.۱۳۴	۰.۱۲۲	۰.۱۱۸	۰.۰۲۲	۰.۰۰۰	۰.۰۰۰	
$Fe\#$	۰.۰۷۸	۰.۰۷۶	۰.۰۷۱	۰.۰۶۶	۰.۰۱۶	۰.۰۱۱	۰.۰۲۸	۰.۰۱۰	۰.۰۹۲	۰.۰۳۸	۰.۰۴۸	۰.۰۴۵	۰.۱۱۴	۰.۰۹۳
Al^{IV}	۰.۰۷	۰.۰۵۶	۰.۰۵۶	۰.۰۳۳	۰.۰۸۱	۰.۰۸۴	۰.۰۸	۰.۱۵۳	۰.۱۳۵	۰.۱۲۳	۰.۰۱	۰.۰۲	۰.۱۶۷	۰.۰۸۹
Al^{VI}	۰.۰۴۳	۰.۱۰	۰.۰۸۴	۰.۰۹۴	۰.۰۰	۰.۰۰	۰.۰۰	۰.۰۷۹	۰.۱۲۴	۰.۱۲۱	۰.۰۲۳	۰.۰۰۲	۰.۲۸۵	۰.۲۹۸
Q	۱.۹۲۳	۱.۸۶	۱.۸۷۸	۱.۸۷۲	۲.۱۷۱	۲.۱۰۹	۲.۱۱۷	۱.۷۸	۱.۸۱۲	۱.۷۰۵	۱.۹۶۴	۱.۹۸	۱.۶۲۳	۱.۶۴۶
J	۰.۰۰۲	۰.۰۰	۰.۰۰۲	۰.۰۰	۰.۰۰۲	۰.۰۱۲	۰.۰۰۲	۰.۰۶۶	۰.۰۴۸	۰.۱۷۲	۰.۰۰۴	۰.۰۰	۰.۱۷۸	۰.۱۰۸
$J/Q+J$	۰.۰۰۱	۰.۰۰	۰.۰۰۱۱	۰.۰۰	۰.۰۰۰۹۲	۰.۰۰۵۷	۰.۰۰۰۹	۰.۰۳۵۸	۰.۰۲۶	۰.۰۱۶	۰.۰۰۲	۰.۰۰	۰.۰۹۹	۰.۰۶۲
Wo	۴۲.۵۴	۴۷.۷۷	۴۷.۵۵	۴۹.۲۵	۳۲.۲۷	۳۳.۹۷	۳۳.۸۹	۴۸.۲۰	۴۷.۶۸	۲۷.۶۴	۴۹.۶۹	۴۹.۶۸	۳۱.۸۴	۳۴
En	۵۲.۹۹	۴۸.۲۸	۴۸.۷۲	۴۷.۲۸	۶۳.۲۰	۶۲.۰۵	۶۱.۶۶	۴۷.۶۹	۴۷.۵۲	۶۷.۳۰	۴۷.۴۰	۴۷.۳۰	۶۰.۴۱	۵۹.۸۴
Fs	۴.۴۷	۳.۹۸	۳.۷۷	۳.۳۷	۳.۰۳	۳.۴۸	۴.۴۵	۴.۱۱	۴.۸۰	۵.۰۶	۳.۲۷	۳.۰۲	۷.۷۵	۶.۱۶

$Fe-Fe_2(Fe^{2+}+Mg)$ $Mg \# = Mg/(Mg+Fe^{2+})$: فروسلیت، En : انسنتیت، Wo : لاستونیت، Wh : دونیت، Lz : هارزبورزیت، $J = 2Na$ ، $Q = Ca + Mg + Fe^{2+}$ ، $Cr\# = Cr/(Cr + Al)$.

همچنین رسم نتایج تجزیه این کانی در نمودار $\# \text{Fe}^{2+} = \text{Fe}^{3+} / (\text{Fe}^{2+} + \text{Mg})$ (نمودار $\# \text{Fe}^{3+} = \text{Fe}^{2+} / (\text{Fe}^{2+} + \text{Mg})$) در گستره ۰/۱۹ تا ۰/۸۰ است، به طوری که مقدار $\# \text{Cr}$ به تدریج از لرزولیت به سمت هارزبورژیت و دونیت افزایش می‌یابد. این در حالی است که $\# \text{Mg}$ گستره ای از ۰/۵۶ تا ۰/۷۴ را شامل شده و به طور میانگین از ۰/۶۲ در لرزولیت به ۰/۶۲ در $\text{Cr} + \text{Fe}$ هارزبورژیت و دونیت کاهش نشان می‌دهد. در نمودار $\# \text{Al} + \text{Mg}$ (شکل ۳ ج) آشکارا همه کروم اسپینل‌ها در راستای خط ۱:۱ که بیانگر جایگزینی $\text{Fe}(\text{Cr}, \text{Fe}^{3+})_2\text{O}_4$ (عضو انتهایی کرومیت) با MgAl_2O_4 (عضو انتهایی اسپینل) است، قرار دارند. با این حال، کروم اسپینل‌ها در سنگ‌های مختلف دارای نسبت‌های کمی متفاوت از این دو عضو انتهایی هستند. براساس نمودار $\# \text{Mg}$ نسبت به در مقابل $\# \text{Cr}$ (شکل ۲۴) برای ۵۵ بندی و تعیین نوع اسپینل موجود در سنگ‌های فرامافیک مورد بررسی، اسپینل در لرزولیت‌ها در گستره اسپینل و در دونیت و هارزبورژیت‌ها در گستره منیزیوکرومیت قرار دارند (شکل ۳ ج).

اسپینل: نتایج تجزیه نقطه‌ای اسپینل‌ها در جدول ۴ ارائه شده است. از نظر ترکیبی مقدار عدد کروم ($\# \text{Cr} = \text{Cr}/(\text{Cr} + \text{Al})$) در گستره ۰/۱۹ تا ۰/۸۰ است، به طوری که مقدار $\# \text{Cr}$ به تدریج از لرزولیت به سمت هارزبورژیت و دونیت افزایش می‌یابد. این در حالی است که $\# \text{Mg}$ گستره ای از ۰/۵۶ تا ۰/۷۴ را شامل شده و به طور میانگین از ۰/۶۲ در لرزولیت به ۰/۶۲ در $\text{Cr} + \text{Fe}$ هارزبورژیت و دونیت کاهش نشان می‌دهد. در نمودار $\# \text{Al} + \text{Mg}$ (شکل ۳ ج)، آشکارا همه کروم اسپینل‌ها در راستای خط ۱:۱ که بیانگر جایگزینی $\text{Fe}(\text{Cr}, \text{Fe}^{3+})_2\text{O}_4$ (عضو انتهایی کرومیت) با MgAl_2O_4 (عضو انتهایی اسپینل) است، قرار دارند. با این حال، کروم اسپینل‌ها در سنگ‌های مختلف دارای نسبت‌های کمی متفاوت از این دو عضو انتهایی هستند. براساس نمودار $\# \text{Mg}$ نسبت به در مقابل $\# \text{Cr}$ (شکل ۲۴) برای ۵۵ بندی و تعیین نوع اسپینل موجود در سنگ‌های فرامافیک مورد بررسی، اسپینل در لرزولیت‌ها در گستره اسپینل و در دونیت و هارزبورژیت‌ها در گستره منیزیوکرومیت قرار دارند (شکل ۳ ج).

جدول ۴ نتایج تجزیه کانی کروم اسپینل (Cr-Spl) در پریدوتیت‌های گوشته‌ای صحنه، هرسین-نورآباد به روش ریزپردازش الکترونی.

سنگ	Du	Du	Du	Lz	Lz	Lz	Hz	Hz	Hz	Hz	Hz	Hz
نمونه	PR-۲۸	PR-۲۸	PR-۲۸	HZ-۱۳	HZ-۱۳	HZ-۱۳	PR-۲۵	PR-۲۵	PR-۲۵	PR-۲۵	PR-۲۵	PR-۱۰
SiO_2	۰/۰۰	۰/۰۱	۰/۰۰	۰/۰۳	۰/۰۰	۰/۰۳	۰/۲۳	۱/۱۴	۰/۳۸	۰/۰۵	۰/۷۵	۱/۳۵
TiO_2	۰/۰۰	۰/۰۰	۰/۰۰	۰/۰۰	۰/۰۰	۰/۰۰	۰/۱۱	۰/۱۶	۰/۰۶	۰/۰۵	۰/۰۲	۰/۰۳
Al_2O_3	۲۲/۸۵	۲۲/۸۵	۲۲/۰۵	۴۸/۱۹	۴۸/۴۱	۴۸/۰۱	۱۱/۳۸	۱۱/۹۱	۱۰/۲۵	۱۱/۳۸	۱۸/۴۱	۱۱/۵۴
Cr_2O_3	۴۵/۵۳	۴۵/۷۳	۴۵/۳۸	۱۷/۶	۱۶/۹۶	۱۷/۷۴	۵۵/۸۵	۵۳/۴۲	۶۰/۱۷	۵۸/۲۶	۴۵/۵۳	۵۲/۴۴
FeO^*	۱۶/۵۳	۱۶/۶۳	۱۶/۶۱	۱۵/۰۶	۱۵/۴۱	۱۵/۳۷	۱۶/۱۲	۱۴/۵۵	۱۷/۰۴	۱۷/۷۴	۱۹/۶۱	۲۱/۴۳
MnO	۰/۰۰	۰/۰۰	۰/۰۰	۰/۰۰	۰/۰۰	۰/۰۰	۰/۰۰	۰/۰۰	۰/۰۰	۰/۰۰	۰/۰۲	۰/۰۳
MgO	۱۴/۱۹	۱۳/۸۸	۱۳/۹۹	۱۸/۳۸	۱۸/۷۳	۱۸/۵۱	۱۱/۱۰	۱۳/۸۵	۱۲/۴۷	۱۱/۷۳	۱۵/۹۸	۱۱/۹۲
CaO	۰/۰۱	۰/۰۲	۰/۰۱	۰/۰۰	۰/۰۰	۰/۰۰	۰/۰۲	۰/۰۸	۰/۰۰	۰/۰۲	۰/۰۱	۰/۰۲
NiO	۰/۰۹	۰/۱۱	۰/۰۸	۰/۱۶	۰/۲۰	۰/۱۶	۰/۰۲	۰/۰۴	۰/۰۴	۰/۰۴	۰/۰۹	۰/۰۷
Na_2O	۰/۰۰	۰/۰۰	۰/۰۲	۰/۰۲	۰/۰۰	۰/۰۰	۱/۶۹	۱/۲۱	۰/۱۰	۰/۰۴	۰/۰۷	۰/۰۱
K_2O	۰/۰۱	۰/۰۱	۰/۰۱	۰/۰۰	۰/۰۰	۰/۰۱	۱/۳۵	۰/۰۳۷	۰/۰۰	۰/۰۸	۰/۰۰	۰/۰۰
P_2O_5	۰/۰۰	۰/۰۰	۰/۰۰	۰/۰۲	۰/۰۰	۰/۰۰	۰/۰۲	۰/۰۴	۰/۰۰	۰/۰۰	۰/۰۰	۰/۰۴
مجموع	۱۰۰/۲۱	۹۹/۲۴	۹۹/۱۵	۹۹/۷۲	۹۹/۷۳	۹۹/۸۳	۹۸/۰۹	۹۶/۹۷	۱۰۰/۰۱	۹۹/۵۹	۱۰۰/۶۹	۹۹/۰۴
فرمول ساختاری بر پایه ۴ اتم اکسیژن												
<i>a.p.f.u</i>												
Si	۰/۰۰	۰/۰۰	۰/۰۰	۰/۰۰۱	۰/۰۰	۰/۰۰۱	۰/۰۰۸	۰/۰۳۸	۰/۰۱۲	۰/۰۰۲	۰/۰۲۳	۰/۰۴
Ti	۰/۰۰	۰/۰۰	۰/۰۰	۰/۰۰	۰/۰۰	۰/۰۰	۰/۰۰۳	۰/۰۰۴	۰/۰۰۱	۰/۰۰۱	۰/۰۰	۰/۰۰
Al	۰/۸۵	۰/۸۲۶	۰/۸۳۲	۱/۵۳۶	۱/۵۳۸	۱/۵۲۸	۰/۴۵۶	۰/۶۶۴	۰/۳۹	۰/۴۳۷	۰/۸۵۸	۰/۴۴
Cr	۱/۰۹	۱/۱۱	۱/۱۰۱	۰/۳۸۲	۰/۳۸۲	۰/۳۷۹	۱/۵۰۵	۱/۴	۱/۵۳۵	۱/۵۰۴	۱/۰۹۲	۱/۳۵
Fe^{3+}	۰/۰۵۹	۰/۰۶۲	۰/۰۶۵	۰/۰۸۱	۰/۱	۰/۰۹۲	۰/۰۱۳	۰/۰۴۶	۰/۰۴۷	۰/۰۵۲	۰/۲۰۳	۰/۱۲
Fe^{2+}	۰/۳۶	۰/۳۶۳	۰/۳۵۹	۰/۲۶	۰/۲۴۷	۰/۲۵۶	۰/۴۴۴	۰/۳۵۴	۰/۴۱۴	۰/۴۳۱	۰/۲۹۵	۰/۴۶
Mn	۰/۰۰	۰/۰۰	۰/۰۰	۰/۰۰	۰/۰۰	۰/۰۰	۰/۰۰	۰/۰۰	۰/۰۰	۰/۰۰۶	۰/۰۰۱	۰/۰۱
Mg	۰/۶۴	۰/۶۳۵	۰/۶۴	۰/۷۴۱	۰/۷۵۳	۰/۷۴۵	۰/۵۶۳	۰/۶۸۳	۰/۶	۰/۵۷۱	۰/۷۲۳	۰/۵۸
Ca	۰/۰۰	۰/۰۰۱	۰/۰۰۱	۰/۰۰	۰/۰۰	۰/۰۰	۰/۰۰۷	۰/۰۱	۰/۰۰	۰/۰۰۱	۰/۰۰۱	۰/۰۰
Ni	۰/۰۰۲	۰/۰۰۳	۰/۰۰۲	۰/۰۰۴	۰/۰۰۵	۰/۰۰۴	۰/۰۰۱	۰/۰۰۱	۰/۰۰۱	۰/۰۰۱	۰/۰۰	۰/۰۰
Fe_2O_3	۲/۵۹	۲/۷۰	۲/۸۳	۳/۹۸	۴/۹۴	۴/۵۲	۰/۵۱	۱/۸۶	۱/۹۳	۲/۱۲	۸/۸۸	۴/۹۴
FeO	۱۴/۲۰	۱۴/۲۰	۱۴/۰۶	۱۱/۴۸	۱۰/۹۷	۱۱/۳۱	۱۵/۶۶	۱۲/۸۸	۱۵/۳۰	۱۵/۸۳	۱۱/۶۲	۱۶/۹۸
$\text{Mg}^{\#}$	۰/۶۴	۰/۶۴	۰/۶۴	۰/۷۴	۰/۷۵	۰/۷۴	۰/۵۶	۰/۶۶	۰/۵۹	۰/۵۷	۰/۷۱	۰/۵۶
$\text{Cr}^{\#}$	۰/۵۶	۰/۵۷	۰/۵۷	۰/۲۰	۰/۱۹	۰/۲۰	۰/۷۷	۰/۷۵	۰/۸۰	۰/۷۷	۰/۶۲	۰/۷۵
$\text{Fe}^{3+}\#$	۰/۰۳	۰/۰۳	۰/۰۳	۰/۰۴	۰/۰۵	۰/۰۵	۰/۰۱	۰/۰۲	۰/۰۳	۰/۱۰	۰/۰۶	۰/۰۶

۱: $\text{Cr}^{\#} = \text{Cr}/(\text{Cr} + \text{Al})$, ۲: $\text{Fe}^{\#} = \text{Fe}/(\text{Fe}^{2+} + \text{Mg})$, ۳: $\text{Mg}^{\#} = \text{Mg}/(\text{Mg} + \text{Fe}^{2+})$, ۴: H_2O : هارزبورژیت, Du: دونیت, Lz: لرزولیت.

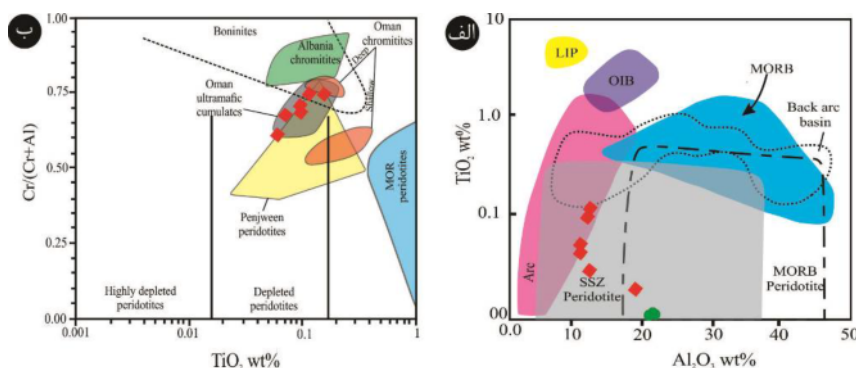
پریدوتیت‌های تهی شده و همسایگی با پریدوتیت‌های پنجوین و عمان (موقعیت SSZ) همپوشی نشان می‌دهند.

از طرفی، برخلاف افیولیت‌های نوع هارزبورژیتی (HOT)، افیولیت‌های نوع لرزولیتی (LOT) هم دچار درجه‌های پایین ذوب بخشی شده‌اند و هم پریدوتیت‌های غنی از کلینوپیروکسن میزبان اسپینل‌های با مقادیر پایین Cr# هستند، این در حالی است که در نوع HOT بعلت درجه‌های بالای ذوب بخشی کلینوپیروکسن پریدوتیت گوشه‌ای بارور ذوب گردیده و مقادیر بالای Cr# اسپینل میزبان پریدوتیت‌های تهی شده و بسیار دیرگداز شده‌اند، به طوری که برخی [۲۲] معتقدند که این درجه ذوب بخشی بالا سبب ایجاد نسبت بالایی از Cr/Al در اسپینل سنگ‌های نوع HOT می‌شود. مقادیر بالای نسبت Cr/Al در اسپینل‌های مناطق مورد بررسی (با میانگین ۲۰۱ جدول ۴) و نرخ ذوب بخشی بیش از ۲۵٪ هارزبورژیت‌ها و دونیت‌های منطقه و نیز قرارگیری آنها در میدان آرایش گوشه‌ای الیوین- اسپینل (OSMA) در نمودار Fo الیوین نسبت به Cr# اسپینل (شکل ۳ خ) که بیانگر نقش ذوب بخشی و خروج گسترده مذاب در ایجاد روند مشاهده شده است، همه نشان می‌دهند که در افیولیت‌های نوع هارزبورژیتی (HOT) صحنه، هرسین- نورآباد، مذاب برآمده از صفحه اقیانوسی فرو رو در یک پهنه فرورانشی با کاهش دمای ذوب سنگ کره گوشه- ای در بالای آن، باعث واکنش گسترده مذاب صعود کننده با سنگ دیواره شده است.

با توجه به نتایج تجزیه ریزپرداش الکترونی کانی‌ها (جدول- های ۱ تا ۴) و فرمول‌های ساختاری محاسبه شده آنها، از ۱۵ واسنجی مختلف برای محاسبات زمین فشار دما‌سنگی نمونه- های هارزبورژیتی، لرزولیتی و ورلیتی مناطق صحنه، هرسین- نورآباد استفاده شد که نتایج در جدول ۵ ارائه شده است (با توجه به تعداد بالای روابط مورد استفاده در محاسبات مربوط به کسرهای مولی و اعضا انتهایی در اینجا بیان نشده است). موقعیت نمونه‌های برداشت شده در شکل ۱ الف نشان داده شده است. همه نتایج محاسبه شده بر پایه واسنجی‌های مختلف [۳۱-۴۰] برای نمونه‌های هارزبورژیتی و لرزولیتی دمای ۱۱۰۰ تا ۱۵۰۰ درجه سانتیگراد را در فشار ۱۲ تا ۱۸ کیلوبار و برای نمونه دایک ورلیتی دمای ۱۲۰۰ تا ۱۵۰۰ سانتیگراد را در فشار ۲۱ تا ۲۳ کیلوبار نشان می‌دهند که با تشکیل آنها در محیط زمین ساختی ماقمایی SSZ همخوانی دارد.

محیط زمین‌ساختی و زمین دما-فشار‌سنگی
برخی از بافت‌ها در سنگ‌های فرامافیک گویای رخداد فرآیند سنگ‌زایی ویژه‌ای هستند، از جمله تیغه‌های جدایشی کلینوپیروکسن در ارتوپیروکسن نشانگر سرد شدن همراه با کاهش فشار در این سنگ‌ها هستند و به طور گسترده در پریدوتیت‌های آبیسال و SSZ دیده می‌شوند [۲۲]. چنین جدایش‌هایی بر اثر کاهش انحلال ناشی از سرد شدن و یا کاهش فشار، ذوب بخشی همراه با واکنش و یا ذوب بخشی پریدوتیت در فشار کم (میدان اسپینل و حذف کلینوپیروکسن) به وجود می‌آیند [۲۸، ۲۹]. بنابراین تیغه‌های جدایشی کلینوپیروکسن‌ها در ارتوپیروکسن‌های موجود در سنگ‌های فرامافیک مناطق مورد بررسی (شکل‌های ۲ ت و ج) به همراه یافته‌های ارائه شده در شکل ۳ ب، نشان از سرد شدن همراه با کاهش فشار در پریدوتیت‌های گوشه‌ای و یا واکنش اولیه مذاب سنگ دارد. افزون بر آن به گزارش سومر و هاتوری [۲۹] نیز اسپینل‌های محصور شده و دانه‌های زنجیر مانند اسپینل (شکل‌های ۲ ت و ج) به طور گسترده در پریدوتیت‌هایی دیده می‌شوند که کاملاً وابسته به ذوب بخشی هستند و یا در اثر واکنش مذاب سنگ در گوشه‌ته شکل گرفته‌اند.

نمودار Al_2O_3 نسبت به TiO_2 [۱۸-۲۰] که نتایج تجزیه کروم اسپینل‌ها (جدول ۴) در آن رسم شده است یک سازگاری با محیط SSZ را نشان می‌دهد (شکل ۴ الف). پریدوتیت‌های SSZ با کروم اسپینل‌هایی با Cr# بسیار بالاتر از پریدوتیت‌های آبیسال، از هم تفکیک می‌شوند، #Cr اسپینل پریدوتیت- آبیسال از SSZ از ۳۸ تا بیش از ۸۰ و برای پریدوتیت‌های آبیسال از ۳۸ تا ۵۸ است. این مقدار از #Cr کروم اسپینل‌ها نزدیک به #Cr نمونه‌های مورد بررسی (جدول ۴) بیانگر درجه‌های بسیار بالایی از ذوب بخشی پریدوتیت‌های SSZ نسبت به پریدوتیت‌های آبیسال است [۱۷]. همچنین برخی از پژوهشگران نیز معتقدند که در مقایسه با پریدوتیت‌های آبیسال، اغلب پیروکسن‌های موجود در پریدوتیت‌های SSZ دارای مقادیر بسیار پایین Al و مقادیر Mg# بیش از ۰.۹۰ هستند [۳۰]. براساس نتایج ارائه شده در جدول‌های ۳ و ۴، در #Mg کلینوپیروکسن و ارتوپیروکسن‌های مورد بررسی، متوسط TiO₂ به ترتیب برابر با ۰.۹۴ و ۰.۹۵ است. بر پایه نمودار SSZ نسبت به #Cr اسپینل (شکل ۴ ب) نیز، نمونه‌ها با میدان



شکل ۴ الف: نمودار Al_2O_3 نسبت به TiO_2 کروم اسپینل پریدوتیت‌های مجموعه افیولیتی کرمانشاه. (میدان‌ها برگرفته از مرجع [۲۴]). ب: نمودار $\text{Cr}/(\text{Cr}+\text{Al})$ نسبت به TiO_2 کروم اسپینل پریدوتیت‌ها (میدان‌های پریدوتیت آبیسال از مرجع [۱۸]، کوموله‌های عمان از مرجع [۲۱]، کرومیت‌های عمان از مرجع [۲۲]، پریدوتیت‌های پنجوین از مرجع [۳] و بازالت پوسته‌های میان اقیانوسی MORB از [۳۰] برای مقایسه آورده شده‌اند). نشانه‌ها همانند شکل ۳ هستند.

جدول ۵ نتایج زمین دما فشارسنگی در پریدوتیت‌های گوشته‌ای صحنه، هرسین- نورآباد.

واسنجی بر پایه	کانی مورد استفاده	Pr-23	Pr-10	HZ-13	Pr 7-1
[۳۱] ۱۹۷۳ وود و پانو	Cpx-Opx	$1152 \pm 60^\circ\text{C}$	$1128 \pm 60^\circ\text{C}$	-	-
[۳۲] ۱۹۷۷ ولز	Cpx-Opx	$1052 \pm 70^\circ\text{C}$	$1225 \pm 70^\circ\text{C}$	-	-
[۳۳] ۱۹۸۵ برتراند و مرسیر	Cpx-Opx	1141°C ۱۲ کربار 1145°C ۱۵ کربار 1148°C ۱۷ کربار	1280°C ۱۲ کربار 1289°C ۱۵ کربار 1192°C ۱۷ کربار	-	-
[۳۳] ۱۹۸۵ برتراند و مرسیر	Cpx	1124°C ۱۲ کربار 1130°C ۱۵ کربار 1133°C ۱۷ کربار	1279°C ۱۲ کربار 1285°C ۱۵ کربار 1290°C ۱۷ کربار	-	-
[۳۴] ۱۹۸۰ مرسیر	Cpx	1541°C $P=18.4\text{kbar}$	1513°C $P=18.4\text{kbar}$	1463°C $P=18.4\text{kbar}$	150.1°C $P=19.39\text{kbar}$
[۳۴] ۱۹۸۰ مرسیر	Opx	1528°C $P=17.96\text{kbar}$	1496°C $P=17.72\text{kbar}$	-	-
[۳۵] ۱۹۷۶ هزبیرگ و چپن	Ol-Cpx-Spl	1084°C ۱۲ کربار 1114°C ۱۶ کربار	1293°C ۱۲ کربار 1340°C ۱۶ کربار	1162°C ۱۲ کربار 1171°C ۱۶ کربار	-
[۳۶] ۱۹۷۹ فابریس	Ol-Spl	-	-	$1194 \pm 15^\circ\text{C}$	-
[۳۷] ۱۹۹۸ نیمیس و اولمر	Cpx	-	-	-	$P=21.7\text{kbar}$
[۳۸] ۱۹۹۵ نیمیس	Cpx	-	-	-	$P=19.8\text{kbar}$
[۳۹] ۲۰۰۰ نیمیس و تیلور	Cpx	-	-	-	1228°C ۱۵ کربار 1234°C ۱۷ کربار 1229°C ۱۹ کربار 1244°C ۲۱ کربار 1250°C ۲۳ کربار
[۴۰] ۲۰۰۸ پوتیرکا	Cpx	-	-	-	$1239 \pm 3.0^\circ\text{C}$ ۱۵ کربار $1256 \pm 3.0^\circ\text{C}$ ۱۷ کربار $1274 \pm 3.0^\circ\text{C}$ ۱۹ کربار $1291 \pm 3.0^\circ\text{C}$ ۲۱ کربار $130.8 \pm 3.0^\circ\text{C}$ ۲۳ کربار
[۴۰] ۲۰۰۸ پوتیرکا	Cpx	-	-	-	$13.4\text{kbar} \pm 1.5$ $1240^\circ\text{C} \pm 1.5^\circ\text{C}$ $14.6\text{kbar} \pm 1.5$ $1327^\circ\text{C} \pm 1.5^\circ\text{C}$ $15.9\text{kbar} \pm 1.5$ $14.8\text{kbar} \pm 1200^\circ\text{C}$ $17.7\text{kbar} \pm 1.5$ $15.9\text{kbar} \pm 1225^\circ\text{C}$ $18.6\text{kbar} \pm 1.5$ $17.1\text{kbar} \pm 1250^\circ\text{C}$ $20.4\text{kbar} \pm 1.5$ $18.3\text{kbar} \pm 1275^\circ\text{C}$ $22.4\text{kbar} \pm 1.5$ $19.6\text{kbar} \pm 1300^\circ\text{C}$ $23.3\text{kbar} \pm 1.5$ $21.0\text{kbar} \pm 1325^\circ\text{C}$ $25.3\text{kbar} \pm 1.5$ $22.4\text{kbar} \pm 1350^\circ\text{C}$
[۴۰] ۲۰۰۸ پوتیرکا	Cpx-Liquid	-	-	-	$1267^\circ\text{C} \pm 3^\circ$ $1300^\circ\text{C} \pm 3^\circ$ ۱۵ کربار $1281^\circ\text{C} \pm 3^\circ$ $1322^\circ\text{C} \pm 3^\circ$ ۱۷ کربار $1296^\circ\text{C} \pm 3^\circ$ $1344^\circ\text{C} \pm 3^\circ$ ۱۹ کربار $1310^\circ\text{C} \pm 3^\circ$ $1355^\circ\text{C} \pm 3^\circ$ ۲۱ کربار $1325^\circ\text{C} \pm 3^\circ$ $1388^\circ\text{C} \pm 3^\circ$ ۲۳ کربار
[۳۷] ۱۹۹۸ نیمیس و اولمر	Cpx	-	-	-	21.7kbar

Arabia and Iran", Journal of Asian Earth Sciences, 79 (2014), 312–328.

[3] Aswad K.J.A., Aziz N.R.H., Koyi H.A., "Cr-spinel compositions in serpentinites and their implications for the petrotectonic history of the Zagros Suture Zone, Kurdistan Region, Iraq", Geological Magazine, 148 (2011), 802–818.

[4] Dilek Y., Furnes H., "Ophiolite genesis and global tectonics: geochemical and tectonic fingerprinting of ancient oceanic lithosphere", Geological Society of America Bulletin 123(2011)387–411.

[5] Whitechurch H., Omrani J., Agard P., Humbert F., Montigny R., Jolivet L., "Evidence for Paleocene–Eocene evolution of the foot of the Eurasian margin (Kermanshah ophiolite, SW Iran) from back-Arc to arc: implications for regional geodynamics and obduction", Lithos 182–183(2013) 11–32.

[6] Agard P., Omrani J., Jolivet L., Whitechurch H., Vrielynck B., Spakman W., Monie P., Meyer B., Wortel R., "Zagros orogeny: a subduction-dominated process", Geological Magazine, 148(2011) 692–725.

[7] Ricou L.E., Braud J., Brunn J.H., "Le Zagros. Livre à la Mémoire de Albert F. deLapparent. Soc", Geologique de France, Mémoire hors-série 8(1977)33–52.

[8] Shahidi M., Nazari H., "Geological map of Harsin ", 1/100.000 scale. Geological Survey of Iran, Tehran, 1997.

[9] Droop G.T.R., "A general equation for estimating Fe^{3+} concentrations in ferromagnesian silicates and oxides from microprobe analyses, using stoichiometric criteria", Mineralogical Magazine 51(1987) 431–435.

[10] Whitney D.L., Evans B.W., "Abbreviations for names of rock-forming minerals", American Mineralogist, 95(2010) 185–187.

[11] Moradpour A., ZareiSahamieh R., AhmadiKhalaji A., Sarikhani R., "Textural records and geochemistry of the Kermanshah mantle peridotites (Iran): implications for the tectonic evolution of southern Neo-Tethys", Journal of Geosciences, 62,(2017) 165–186.

[12] Deer W. A., Howie R. A., Zussman J., "An introduction to the rock forming minerals" 2nd edition Pearson Education Limited, United Kingdom, 1992.

برداشت

شواهد بافتی و کانی شناسی در پریدوتیت‌های افیولیت کرمانتشا، رخداد واکنش مذاب سنگ را نشان می‌دهند. در تشکیل این سنگ‌ها افزون بر رخداد واکنش مذاب سنگ، درجه‌های مختلفی از ذوب‌بخشی گوشه نیز اثر داشته‌اند. مقدار فراوانی کلینوپیروکسن در پریدوتیت‌ها بیانگر درجه ذوب آنها و مقدار فورستریت الیوین مقیاسی برای میزان درجه ذوب کل است. از این رو، پریدوتیت‌های منطقه صحن، هرسین-نورآباد با مقدار مودال بسیار پایین کلینوپیروکسن و الیوین غنی از منیزیم همراه با تهی شدن بسیار زیاد، دچار درجه‌های بالایی از ذوب بخشی نیز گردیده‌اند.

از همه مناطقی که دایک‌های ورلیتی گزارش شده‌اند (چون کلمبیا، ونزوela، روسیه و کانادا) به عنوان گستره انتقالی توالی گابرویی به پسماندهای فرامافیک و اجزاء غیر مستقل نام برده شده است. پژوهشگران معتقدند که این سنگ‌ها مجموعه‌های دورگه هستند که در اثر واکنش‌های متقابل ماقمایی دگرنهادی بین مذاب‌های مافیک و پسماندهای فرامافیک تشکیل گردیده‌اند. به نظر می‌رسد که در منطقه مورد بررسی نیز شکل‌گیری دایک‌های ورلیتی در مرز پریدوتیت-گابروها در اثر شیب دمایی/شیمیایی، رخداد واکنش و هجوم عناصر به سمت مرز پریدوتیت و گابرو بوده به طوری که واکنش‌های دگرنهادی، شرایط تشکیل این سنگ‌ها را فراهم نموده است. بر پایه نمودارها و واسنجی‌های مختلف، برای تبلور سنگ‌های هارزبورزیتی و لرزولیتی دمای ۱۱۰۰ تا ۱۵۰۰ درجه سانتیگراد و فشار ۱۲ تا ۱۸ کیلوبار و برای نمونه ورلیتی دمای ۱۲۰۰ تا ۱۵۰۰ سانتیگراد و فشار ۲۱ تا ۲۳ کیلوبار به دست آمد که با محیط SSZ همخوانی دارد.

مراجع

- [1] Saccani E., Allahyari K., Beccaluva L., Bianchini G., "Geochemistry and petrology of the Kermanshah ophiolites (Iran): implication for the interaction between passive rifting, oceanic accretion, and OIB-type components in the Southern Neo-Tethys Ocean", Gondwana Research 24 (2013), 392–411.
- [2] Allahyari K., Saccani E., Rahimzadeh B., Zeda O., "Mineral chemistry and petrology of highly magnesian ultramafic cumulates from the Sarve-Abad (Sawlava) ophiolites (Kurdistan, NW Iran): new evidence for boninitic magmatism in intra-oceanic forearc setting in the Neo-Tethys between

- [24] Melluso L., Sethna S.F., "Mineral compositions in the Deccan igneous rocks of India: An Overview. In: J., Ray, G., Sen, and B., Ghosh, (Editors), *Topics in igneous petrology*. Springer, Netherlands, 52 (2011) 35-159.
- [25] Barnes S.J., Roeder P.L., "The range of spinel composition in terrestrial mafic and ultramafic rocks", *Journal of Petrology* 42(2001) 2279–2302.
- [26] Rollinson H., "The geochemistry of mantle chromitites from the northern part of the Oman ophiolite: inferred parental melt compositions", *Contribution to Mineralogy and Petrology* 156(2008) 273–288.
- [27] Wang C.S., Li Y., Liu Z.F., Liu X.H., Tang J.X., Hébert R., Dubois, C., Huot V., "Yarlung-Zangboophiolites revisited: from geological survey to mineral records ", *Acta Geology Sinica* 79(2005) 323–330.
- [28] Seyler M., Lorand J.-P., Dick H.J.B., Drouin M., "Pervasive melt percolation reactions in ultradepleted refractory harzburgites at the Mid-Atlantic Ridge", *Contributions to Mineralogy and Petrology* 153(2007) 303–319.
- [29] Saumur B.M., Hattori K., "Zoned Cr-spinel and ferrichromite alteration in forearc mantle serpentinites of the Rio San Juan Complex, Dominican Republic", *Mineralogy Magazine*. 77(2013) 117–136.
- [30] Choi S.H., Shervais J.W., Mukasa S.B., "Supra-subduction and abyssal mantle peridotites of the Coast Range ophiolite", *Contributions Mineralogy and Petrology* 156(2008) 551–576.
- [31] Wood B.J., Banno S., "Garnet-orthopyroxene and orthopyroxene-clinopyroxene relationships in simple and complex system", *Contributions to Mineralogy and Petrology*, 42: 109-124(1973).
- [32] Wells P.R.A., "Pyroxene thermometry in simple and complex systems", *Contributions to Mineralogy and Petrology*, 62(1977) 129-139.
- [33] Bertrand P., Mercier J. C., "The mutual solubility of coexisting ortho- and clinopyroxene: toward an absolute geothermometer for natural system", *Earth and Planetary Science Letters*, 76(1985) 109-122.
- [34] Mercier J.C.C., "Single -pyroxene thermometry", *Tectonophysics*, 70(1980) 1-37.
- [35] Herzberg C.T., Chapman N.A., "Clinopyroxene geothermometry of spinelherzolite", *American Mineralogist*, 61(1976) 626-637.
- [13] De Hoog, J.C.M., Gall, L., Cornell, D.H., "Trace-element geochemistry of mantle olivine and application to mantle petrogenesis and geothermobarometry", *Chemical Geology*, 270(2010): 196-215.
- [14] Matzen A. K., Baker M. B., Beckett J. R., Stolper E. M., "Fe-Mg Partitioning between Olivine and High-magnesian Melts and the Nature of Hawaiian Parental Liquids", *Journal of Petrology* (2011) doi:10.1093/petrology/egq089.
- [15] Morimoto N., "Nomenclature of pyroxenes" *Canadian Mineralogist* 27(1989) 143-156.
- [16] Morimoto N., Fabries J., Ferguson A.K., Ginzburg I.V., Ross M., Seifert F.A., Zussman J., Aoki K., Gottardi G., "Nomenclature of pyroxenes", *American Mineralogist*, 73(1988) 1123–1133.
- [17] Arai S., "Characterisation of spinel peridotites by olivine-spinel composition alrelationships: review and interpretation", *Chemical Geology* 113(1994) 191–204.
- [18] Dick H.J.B., Bullen T., "Chromian spinel as a petrogenetic indicator in abyssal andalpine-type peridotites and spatially associated lavas", *Contributions to Mineralogy and Petrology* 86(1984) 54–76.
- [19] Kamenetsky V.S., Crawford A.J., Meffre S., "Factors controlling chemistry of magmatic spinel: an empirical study of associated olivine, Cr-spinel and melt inclusions from primitive rocks", *Journal of Petrology* 42(2001) 655–671.
- [20] Presnall D.C., Hoover J.D., "High pressure phase equilibrium constraints on the origin of mid-ocean ridge basalts", *Geochemical Society Special Paper* 1(1987) 75-89.
- [21] Parkinson I.J., Pearce J.A., "Peridotites from the Izu-Bonin-Mariana forearc (ODP Leg 125): evidence for mantle melting and melt-mantle interaction in a suprasubduction zone setting", *Journal of Petrology* 39(1998) 1577–1618.
- [22] Tamura A., Arai S., "Harzburgite-dunite-orthopyroxenite suite as a record of suprasubduction zone setting for the Oman ophiolite mantle", *Lithos* 90(2006) 43–56.
- [23] Tiepolo M., Tribuzio R., Langone A., "High-Mg andesite petrogenesis by amphibole crystallization and ultramafic crust assimilation: Evidence from Adamellohornblendites (Central Alps, Italy)", *Journal of Petrology*, 49(2011) 937-970.

- [39] Nimis P., Taylor W.R., "Single clinopyroxenethermobarometry for garnet peridotite. Part 1. Calibration and testing of a Cr-in-Cpx barometer and an enstatite-in-Cpx thermometer", Contributions to Mineralogy and Petrology, 139(2000): 541-554.
- [40] Putirka K., "Thermometers and Barometers for Volcanic Systems", Reviews in Mineralogy and Geochemistry, 69(2008): 61-120.
- [36] Fabriès J., "Spinol-olivine geothermometry in peridotites from ultramafic complexes", Contributions to Mineralogy and Petrology, 69(1979) 329-336.
- [37] Nimis P., Ulmer P., "Clinopyroxenegeobarometry of magmatic rocks. I. An expanded structural geobarometer for anhydrous and hydrous, basic and ultrabasic systems", Contributions to Mineralogy and Petrology, 133(1998): 122-135.
- [38] Nimis P.A., "A clinopyroxenegeobarometer for basaltic systems based on crystal-structure modeling", Contributions to Mineralogy and Petrology, 121(1995): 115-125.